

II - 5 役意垂直荷重を受ける奥支承上の無深板の解法

九州大学 教授 山崎徳也
“ 助手 ○禪木 武

1. 猶言　柱と板が直結する無深板構造物の解法に関する理論研究は、これまで Marcus⁽¹⁾, Nádai⁽²⁾, Lewe⁽³⁾, Grein⁽⁴⁾, 宮崎⁽⁵⁾, 喜天⁽⁶⁾等多くの人々により行われて来た。しかし、これらの研究は、無深板が構造的に柱一杯かつ無限につなぐこと、載荷が等分布荷重ないしは対称荷重等の特殊な状態に限定されるること、解法が複雑であることを等の多くの難点をもつ。特に任意垂直荷重を受け、柱配列からいへば柱間隔が全く任意かつ板カリ可能な方向にありても有限であることは無深板の解法を提示した論文に未だ見当りない。

本論文は柱配列よりて柱間隔が任意でかつ板剛性が單純支持された無深板に任意垂直荷重加働く場合の厳密な理論解折法の第一報といふ、梁支承上の無深板の解法を提示する。

2. 解法 一般に無深板は柱と板とが直結する中で、板から柱に垂直反力およびそれと反対の方向の水平反力、反力モーメント、振りモーメントが伝えられる。この中、板面に対する垂直荷重が働く場合の板の垂直面内曲げを論す場合には、振りモーメントおよび水平反力はなく、また Nadai, Lewe の研究をはじめこれまで多くの研究で既定されてきたが、柱を真支承とするれば反力モーメントもなく、結局垂直反力のみが板から柱に伝えられる。さて等方性等断面無深板の解法を論することとする。

(4) 板の弹性曲面 等方性等断面平面板の弹性曲面を w , せんじの歓く在り垂直荷重の荷重強度を $q(x, y)$ とすれば、平面板の基礎微分方程式は次式で与えられる。

式で、 D : 板剛度 ($Eh^3 / 12(1-\nu^2)$)、 E : 板の弾性係数、

μ : 板の厚さ , ν : 板のボアソン比 ,

図-1に示すスパン a の四辺単純支持矩形板における、

AB正上部， $\exists x$ 軸，AD正上部， $\exists y$ 軸，斜面に直交する w

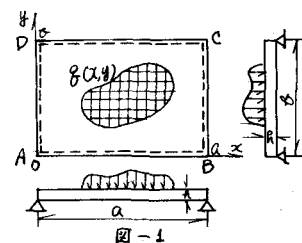
軸を+ x 直交座標を導入すれば、上の境界条件は次の通りである。

$$x = 0, \quad u = 0, \quad w = 0, \quad M_x = -D \left(\frac{\partial \bar{w}}{\partial x} + V \frac{\partial \bar{w}}{\partial z} \right) = 0$$

式(2)を満足する w の式を: 2 , 二重正法フーリエ級数式を仮定できる: とすれば ω のよき

$$w = \sum_{m=1}^{\infty} \sum_{n=1}^{\infty} C_{mn} \cdot \sin \frac{m\pi}{a} x \cdot \sin \frac{n\pi}{b} y, \quad \text{且 } i \in G_{mn} = \text{任意常数} \quad (3)$$

さて、本論文で取り扱う無深板は図-2に示すごとく周辺単純支持であるから、載荷や重荷など、各中间支点における垂直反力をすべて荷重とみなせば、四辺単純支持矩形板といえよう。いま、無深板を支える各中间支点をそれぞれ $\Gamma_1, \Gamma_2, \dots, \Gamma_{11}, \Gamma_{12}, \dots, \Gamma_{21}, \Gamma_{22}, \dots, \Gamma_{2r}, \dots, \Gamma_{ir}, \dots, \Gamma_{11}, \Gamma_{12}, \dots, \Gamma_{rs}$ とし、板面に垂直力任意荷重 $p(x, y)$ が作用したとき、各中间支点に生ずる支点反力をそれぞれ $V_{\Gamma_1}, V_{\Gamma_2}, \dots, V_{\Gamma_{11}}, V_{\Gamma_{12}}, \dots, V_{\Gamma_{21}}, V_{\Gamma_{22}}, \dots, V_{\Gamma_{2r}}, \dots, V_{\Gamma_{ir}}, \dots, V_{\Gamma_{11}}, V_{\Gamma_{12}}, \dots, V_{\Gamma_{rs}}$ とする。各支点反力の符号は上記とを正とする。したがふると、任意荷重 $p(x, y)$



より各支点反力を二重正弦 Fourier 線数展開すれば次のようになります。

$$p(x, y) = \sum_{m=1}^{\infty} \sum_{n=1}^{\infty} F_{mn} \sin \frac{m\pi}{a} x \cdot \sin \frac{n\pi}{b} y \quad (4)$$

$$V_1 = \sum_{m=1}^{\infty} \sum_{n=1}^{\infty} F_{mn} \sin \frac{m\pi}{a} x \cdot \sin \frac{n\pi}{b} y, \quad V_2 = \sum_{m=1}^{\infty} \sum_{n=1}^{\infty} F_{mn}^{12} \sin \frac{m\pi}{a} x \cdot \sin \frac{n\pi}{b} y,$$

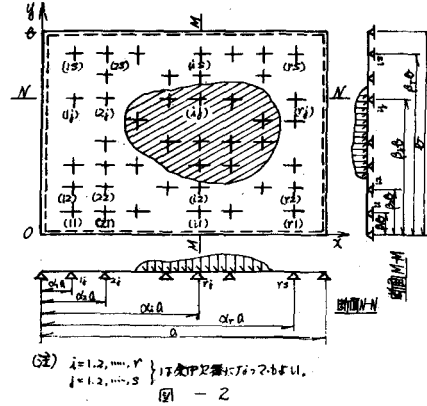
$$V_3 = \sum_{m=1}^{\infty} \sum_{n=1}^{\infty} F_{mn}^{21} \sin \frac{m\pi}{a} x \cdot \sin \frac{n\pi}{b} y, \quad V_4 = \sum_{m=1}^{\infty} \sum_{n=1}^{\infty} F_{mn}^{13} \sin \frac{m\pi}{a} x \cdot \sin \frac{n\pi}{b} y,$$

$$V_5 = \sum_{m=1}^{\infty} \sum_{n=1}^{\infty} F_{mn}^{22} \sin \frac{m\pi}{a} x \cdot \sin \frac{n\pi}{b} y, \quad V_6 = \sum_{m=1}^{\infty} \sum_{n=1}^{\infty} F_{mn}^{23} \sin \frac{m\pi}{a} x \cdot \sin \frac{n\pi}{b} y, \quad (5)$$

$$V_7 = \sum_{m=1}^{\infty} \sum_{n=1}^{\infty} F_{mn}^{31} \sin \frac{m\pi}{a} x \cdot \sin \frac{n\pi}{b} y,$$

$$V_8 = \sum_{m=1}^{\infty} \sum_{n=1}^{\infty} F_{mn}^{32} \sin \frac{m\pi}{a} x \cdot \sin \frac{n\pi}{b} y, \quad V_9 = \sum_{m=1}^{\infty} \sum_{n=1}^{\infty} F_{mn}^{33} \sin \frac{m\pi}{a} x \cdot \sin \frac{n\pi}{b} y,$$

$$V_{10} = \sum_{m=1}^{\infty} \sum_{n=1}^{\infty} F_{mn}^{41} \sin \frac{m\pi}{a} x \cdot \sin \frac{n\pi}{b} y, \quad V_{11} = \sum_{m=1}^{\infty} \sum_{n=1}^{\infty} F_{mn}^{42} \sin \frac{m\pi}{a} x \cdot \sin \frac{n\pi}{b} y, \quad V_{12} = \sum_{m=1}^{\infty} \sum_{n=1}^{\infty} F_{mn}^{43} \sin \frac{m\pi}{a} x \cdot \sin \frac{n\pi}{b} y,$$



式(1)

$$F_{mn} = \frac{4}{ab} \int_0^a p(x, y) \sin \frac{m\pi}{a} x \cdot \sin \frac{n\pi}{b} y \cdot dy \cdot dx \quad (6)$$

$$F_{mn}^{11} = \frac{4}{ab} \cdot V_1 \cdot \sin m\pi \alpha_1 \cdot \sin n\pi \beta_1, \quad ,$$

$$F_{mn}^{12} = \frac{4}{ab} \cdot V_2 \cdot \sin m\pi \alpha_1 \cdot \sin n\pi \beta_2, \quad ,$$

$$F_{mn}^{21} = \frac{4}{ab} \cdot V_3 \cdot \sin m\pi \alpha_2 \cdot \sin n\pi \beta_1, \quad ,$$

$$F_{mn}^{22} = \frac{4}{ab} \cdot V_4 \cdot \sin m\pi \alpha_2 \cdot \sin n\pi \beta_2, \quad ,$$

$$F_{mn}^{23} = \frac{4}{ab} \cdot V_5 \cdot \sin m\pi \alpha_2 \cdot \sin n\pi \beta_3, \quad ,$$

$$F_{mn}^{31} = \frac{4}{ab} \cdot V_6 \cdot \sin m\pi \alpha_3 \cdot \sin n\pi \beta_1, \quad ,$$

$$F_{mn}^{32} = \frac{4}{ab} \cdot V_7 \cdot \sin m\pi \alpha_3 \cdot \sin n\pi \beta_2, \quad ,$$

$$F_{mn}^{33} = \frac{4}{ab} \cdot V_8 \cdot \sin m\pi \alpha_3 \cdot \sin n\pi \beta_3, \quad ,$$

$$F_{mn}^{41} = \frac{4}{ab} \cdot V_9 \cdot \sin m\pi \alpha_4 \cdot \sin n\pi \beta_1, \quad ,$$

$$F_{mn}^{42} = \frac{4}{ab} \cdot V_{10} \cdot \sin m\pi \alpha_4 \cdot \sin n\pi \beta_2, \quad ,$$

$$F_{mn}^{43} = \frac{4}{ab} \cdot V_{11} \cdot \sin m\pi \alpha_4 \cdot \sin n\pi \beta_3, \quad ,$$

$$F_{mn}^{r1} = \frac{4}{ab} \cdot V_{12} \cdot \sin m\pi \alpha_r \cdot \sin n\pi \beta_1, \quad ,$$

$$F_{mn}^{rs} = \frac{4}{ab} \cdot V_{13} \cdot \sin m\pi \alpha_r \cdot \sin n\pi \beta_s, \quad ,$$

$$F_{mn}^{rs} = \frac{4}{ab} \cdot V_{14} \cdot \sin m\pi \alpha_r \cdot \sin n\pi \beta_s, \quad ,$$

無深板に働く任意垂直荷重 $p(x, y)$ の他に、各中间支点における反力 $V_1, V_2, \dots, V_5, V_6, V_7, \dots, V_{10}, \dots, V_{13}, \dots, V_{14}$ が、各支点の反力を V_i とすれば、式(1)の右辺は式(4), (5)を代入し、式(3)を用いた場合は、任意常数 G_{mn} が次のようにえられます。

$$G_{mn} = \frac{T_{mn}}{D \left\{ \left(\frac{m\pi}{a}\right)^2 + \left(\frac{n\pi}{b}\right)^2 \right\}} \quad (8)$$

$$\begin{aligned} T_{mn} &= F_{mn} - \frac{4}{ab} (V_1 \sin m\pi \alpha_1 \sin n\pi \beta_1 + V_2 \sin m\pi \alpha_1 \sin n\pi \beta_2 + \dots + V_5 \sin m\pi \alpha_1 \sin n\pi \beta_5 \\ &\quad + V_6 \sin m\pi \alpha_2 \sin n\pi \beta_1 + V_7 \sin m\pi \alpha_2 \sin n\pi \beta_2 + \dots + V_{10} \sin m\pi \alpha_2 \sin n\pi \beta_8 \\ &\quad + \dots + V_{13} \sin m\pi \alpha_3 \sin n\pi \beta_1 + \dots + V_{14} \sin m\pi \alpha_3 \sin n\pi \beta_3 + V_9 \sin m\pi \alpha_4 \sin n\pi \beta_1 \\ &\quad + \dots + V_{11} \sin m\pi \alpha_4 \sin n\pi \beta_3) \end{aligned} \quad (9)$$

式(8)を式(3)に代入すると(10)式、图-2に示す無深板に関する弹性曲面 w が求まり、次式で与えます。

$$w = \sum_{m=1}^{\infty} \sum_{n=1}^{\infty} \frac{T_{mn}}{D \left\{ \left(\frac{m\pi}{a}\right)^2 + \left(\frac{n\pi}{b}\right)^2 \right\}} \cdot \sin \frac{m\pi}{a} x \cdot \sin \frac{n\pi}{b} y \quad (10)$$

(2) 無深板解釈のための基本連立方程式

平面板の全垂工字ルギー Γ は一般に次式で与えられます。

$$\Gamma = \frac{1}{2} D \int_0^a \int_0^b \left[(\nabla w)^2 - 2(1-\nu) \left\{ \frac{\partial w}{\partial x} \frac{\partial w}{\partial y} - \left(\frac{\partial^2 w}{\partial x^2} \right)^2 \right\} \right] dx \cdot dy \quad (11)$$

式(11)の[]内第2項は内積分です。Gauss の定理により、板周辺に沿った曲線積分に直すことができます。本題の無深板に付ける場合、周辺にカッコ0である場合に式(11)の曲線積分

は 0 と 1 だから、結局板の歪エネルギー式(11)より式(14)に簡単な次式で表わされる。

$$U = \frac{1}{2} D \int_0^a \int_0^b (\nabla^2 w)^2 dx dy \quad (12)$$

式(12)に式(10)を代入し、無深板全体の歪エネルギーを求めるのがとくえられる。

$$U = -\frac{\alpha \theta}{8 D T^4} \sum_{m=1}^{\infty} \sum_{n=1}^{\infty} \frac{T_{mn}^4}{(m \pi)^2 + (n \pi)^2} \quad (13)$$

式(13)に Castiglione の定理を適用すれば、図-2 に示す無深板に関する各中间支点 $d_{11}, d_{12}, \dots, d_{1s}, d_{21}, d_{22}, \dots, d_{2s}, d_{31}, d_{32}, \dots, d_{3s}, d_{41}, d_{42}, \dots, d_{4s}$ と支点反力 $V_{11}, V_{12}, \dots, V_{1s}, V_{21}, V_{22}, \dots, V_{2s}, V_{31}, V_{32}, \dots, V_{3s}, V_{41}, V_{42}, \dots, V_{4s}$ と $\alpha - \text{連} \alpha$ 関係式が求まる。ただし $\frac{2U}{2V_{ij}} = d_{ij} \quad (j = 1, 2, \dots, r; i = 1, 2, \dots, s) \quad (14)$

より、結局次の連立方程式をうる。

$$V_{11} \cdot D_{11}^{ij} + V_{12} \cdot D_{12}^{ij} + \dots + V_{1s} \cdot D_{1s}^{ij} + V_{21} \cdot D_{21}^{ij} + V_{22} \cdot D_{22}^{ij} + \dots + V_{2s} \cdot D_{2s}^{ij} + \dots + V_{31} \cdot D_{31}^{ij} + \dots + V_{3s} \cdot D_{3s}^{ij} + V_{41} \cdot D_{41}^{ij} + \dots + V_{4s} \cdot D_{4s}^{ij} + V_{rs} \cdot D_{rs}^{ij} = \frac{\alpha \theta}{4} D^{ij} + \frac{\alpha \theta}{4} \pi^4 D \cdot d_{ij} \quad (15)$$

(ただし $i : i = 1, 2, \dots, r; j : j = 1, 2, \dots, s$ あり、式(15)は中间支点の数と同数の連立方程式となる。)

$i > 1 :$

$$D_{11}^{ij} = \sum_{m=1}^{\infty} \sum_{n=1}^{\infty} \frac{1}{kmn} \sin m \pi d_i \cdot \sin n \pi \beta_j \cdot \sin m \pi \alpha_i \cdot \sin n \pi \beta_j$$

$$D_{12}^{ij} = \sum_{m=1}^{\infty} \sum_{n=1}^{\infty} \frac{1}{kmn} \sin m \pi d_i \cdot \sin n \pi \beta_j \cdot \sin m \pi \alpha_i \cdot \sin n \pi \beta_j$$

$$D_{1s}^{ij} = \sum_{m=1}^{\infty} \sum_{n=1}^{\infty} \frac{1}{kmn} \sin m \pi d_i \cdot \sin n \pi \beta_s \cdot \sin m \pi \alpha_i \cdot \sin n \pi \beta_s$$

$$D_{21}^{ij} = \sum_{m=1}^{\infty} \sum_{n=1}^{\infty} \frac{1}{kmn} \sin m \pi d_i \cdot \sin n \pi \beta_j \cdot \sin m \pi \alpha_i \cdot \sin n \pi \beta_j$$

$$D_{22}^{ij} = \sum_{m=1}^{\infty} \sum_{n=1}^{\infty} \frac{1}{kmn} \sin m \pi d_i \cdot \sin n \pi \beta_j \cdot \sin m \pi \alpha_i \cdot \sin n \pi \beta_j$$

$$D_{2s}^{ij} = \sum_{m=1}^{\infty} \sum_{n=1}^{\infty} \frac{1}{kmn} \sin m \pi d_i \cdot \sin n \pi \beta_s \cdot \sin m \pi \alpha_i \cdot \sin n \pi \beta_s$$

$$D_{31}^{ij} = \sum_{m=1}^{\infty} \sum_{n=1}^{\infty} \frac{1}{kmn} \sin m \pi d_i \cdot \sin n \pi \beta_j \cdot \sin m \pi \alpha_i \cdot \sin n \pi \beta_j$$

$$D_{32}^{ij} = \sum_{m=1}^{\infty} \sum_{n=1}^{\infty} \frac{1}{kmn} \sin m \pi d_i \cdot \sin n \pi \beta_j \cdot \sin m \pi \alpha_i \cdot \sin n \pi \beta_j$$

$$D_{3s}^{ij} = \sum_{m=1}^{\infty} \sum_{n=1}^{\infty} \frac{1}{kmn} \sin m \pi d_i \cdot \sin n \pi \beta_s \cdot \sin m \pi \alpha_i \cdot \sin n \pi \beta_s$$

$$D_{41}^{ij} = \sum_{m=1}^{\infty} \sum_{n=1}^{\infty} \frac{1}{kmn} \sin m \pi d_i \cdot \sin n \pi \beta_j \cdot \sin m \pi \alpha_i \cdot \sin n \pi \beta_j$$

$$D_{42}^{ij} = \sum_{m=1}^{\infty} \sum_{n=1}^{\infty} \frac{1}{kmn} \sin m \pi d_i \cdot \sin n \pi \beta_j \cdot \sin m \pi \alpha_i \cdot \sin n \pi \beta_j$$

$$\therefore i > 1 : K_{mn} = \left\{ \left(\frac{m}{a}\right)^2 + \left(\frac{n}{b}\right)^2 \right\}^2$$

$V_{11}, V_{12}, \dots, V_{1s}, V_{21}, V_{22}, \dots, V_{2s}, \dots, V_{31}, V_{32}, \dots, V_{3s}, V_{41}, V_{42}, \dots, V_{4s}$, $d_{11}, d_{12}, \dots, d_{1s}, d_{21}, d_{22}, \dots, d_{2s}, d_{31}, d_{32}, \dots, d_{3s}, d_{41}, d_{42}, \dots, d_{4s}$ の未知数における、各中间支点の反力 V または垂直変位 d のいずれか一方が他の条件から判明すれば、未知数は半減し、したがって式(15)の方程式の数と未知数が一致する。これらの諸式を連立して解くことにより、図-2 の無深板の解がえられる。とくに $i = 1$ の場合。

(3) 計算例

図-3に示す如く、板間に並ぶ純支持点から中间支承^{11, 12, 21, 22}を支持する無深板は、等分布荷重を満載可³の場合、数値計算例を示す次の通りである。

すなはち、図-31によれば、各中間支点の支点荷重が起ら
じる時のとすれば $d_{11} = d_{12} = d_{21} - d_{22} = 0$ であるから、式(15)
は次の内容となる。

$$\begin{aligned} \nabla_{11} \cdot D_1^{\alpha_1} + \nabla_{12} \cdot D_2^{\alpha_1} + \nabla_{21} \cdot D_1^{\alpha_2} + \nabla_{22} \cdot D_2^{\alpha_2} &= \frac{\alpha_1}{4} D^\alpha, \\ \nabla_{11} \cdot D_1^{\alpha_1} + \nabla_{12} \cdot D_2^{\alpha_1} + \nabla_{21} \cdot D_1^{\alpha_2} + \nabla_{22} \cdot D_2^{\alpha_2} &= \frac{\alpha_2}{4} D^\alpha \end{aligned} \quad \left. \begin{array}{l} \nabla_{11} \cdot D_1^{\alpha_1} + \nabla_{12} \cdot D_2^{\alpha_1} + \nabla_{21} \cdot D_1^{\alpha_2} + \nabla_{22} \cdot D_2^{\alpha_2} = \frac{\alpha_1}{4} D^\alpha \\ \nabla_{11} \cdot D_1^{\alpha_1} + \nabla_{12} \cdot D_2^{\alpha_1} + \nabla_{21} \cdot D_1^{\alpha_2} + \nabla_{22} \cdot D_2^{\alpha_2} = \frac{\alpha_2}{4} D^\alpha \end{array} \right\} \quad \text{--- (7)}$$

$$V_{11} \cdot D_{11}^{21} + V_{12} \cdot D_{12}^{21} + V_{21} \cdot D_{21}^{21} + V_{22} \cdot D_{22}^{21} = \frac{ab}{4} D^{21} \quad , \quad V_{11} \cdot D_{11}^{22} + V_{12} \cdot D_{12}^{22} + V_{21} \cdot D_{21}^{22} + V_{22} \cdot D_{22}^{22} = \frac{ab}{4} D^{22}$$

特に、四元数の比 $\frac{b}{a} = 0.5$ の場合について、式(17)の係数および加重項を計算すれば次の通りである。

$$D_{11}^{(1)} = D_{12}^{(2)} = D_{21}^{(2)} = D_{22}^{(2)} = 0.3951 \times 10^5 A^4, \quad D_{12}^{(1)} = D_{11}^{(2)} = D_{22}^{(1)} = D_{21}^{(1)} = 0.2900 \times 10^5 A^4$$

$$D_{11}^{21} = D_{21}^{11} = D_{12}^{22} = D_{22}^{12} = 0.1340 \times 10^4 \text{ } Q^4, \quad D_{11}^{22} = D_{22}^{11} = D_{12}^{21} = D_{21}^{12} = 0.1268 \times 10^4 \text{ } Q^4$$

$$D'' = D^2 = D^{21} = D^{22} = 0.4839 \times 10^7 \text{ Pa}^4 ,$$

$$V_1 = V_{12} = V_{21} = V_{22} = 0.0639 \text{ } p_0 a^2 \quad (49)$$

式(19)を式(10)に代入すれば、図-13に示す無深板の弾性曲面 w がえられ、またこの w を用いて無深板上の任意点 (x_1, x_2) における各方向の曲げモーメント M_x, M_y 、せん断力 Q_x, Q_y 、振りモーメント M_{xy} および板周辺に沿う支持反力を算出することができます。

3. 糕語

二重正弦フーリエ級数を用いて無梁板を解く本法は、次の諸点をその特色とする。1) 強制振動の初期条件を考慮する。
2) 振動の初期条件を考慮する。

(1) 本法に斤加えば、無深板を解くこと(式(15))多元一次連立方程式を解くだけの簡単な内容となり、かつ連立方程式の未知数と共に各中间支点の子静定反力を直接用うるべし、その計算は重複がありやラーメン等の骨組構造物を解くのと何等変わらない努力です。

(2) 本法では特に必要とする無深板上の点の「力」の量を独立した静定力と同時にかゝる簡単に求めることができます実際の便利度である。

以上の如き、本法は既往の方法に較べて非常に簡便な方法であり、その式(15)の
係数からいへて簡単に計算すれば、図表化されなければ、実際の現場における
無漆板解折に極めて威力を發揮するものと確信する。

Z. B.) Marcus : Die Theorie elastischer Gewebe und ihre Anwendung auf die Berechnung biegsamer Platten, Berlin 1924, Julius Springer.

(2) Nádai : Die elastischen Platten. Berlin, 1925. J. Springer.

(3) Lewe : Pilzdecken und anderes trüglose Eisenbetonplatten. 2. Aufl.
Berlin 1926. Wilhelm Ernst & Sohn.

(4) Karl Grein: Pilzdecken Theorie und Berechnung, Berlin 1928, Wilhelm Ernst & Sohn.

⑥) 富山源蔵二: 「七八之は建築学会研究報告第7.14.18.24.29.31号, 建築学会論文集第57号等」

(6) 競天表2：大ヒビノ建築学会研究報告第14、18、20号等。

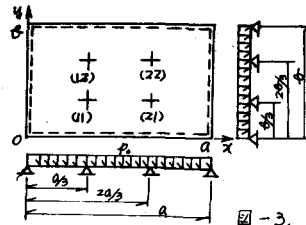


图 - 3.